

MELCOR

LAVA-3

Analysis of LAVA-3 Experiment Using MELCOR code

305-303

MELCOR1.8.4 COR

LAVA-3

가 , 가 , 가 , 가
 . MELCOR 가 , 가
 . LAVA-3 ,
 가 debris 가 .
 , 가 ,
 가 , cavity ,
 debris (2)가 . ,
 , debris .

Abstract

This study analyzes the LAVA-3 experiment using the lower plenum model of COR module in MELCOR1.8.4 code, in order to investigate the corium coolability in the lower vessel head. The objectives of this analysis are to validate the measured data and to identify the new parameters to be measured in the subsequent experiments. Also to evaluate the applicability of the MELCOR code and to construct an effective system for analyzing the experiment are the additional objectives. From this simulation, the temperature of the outer surface of the wall shows a good agreement with the experiment but the cooling rate of the debris is over-estimated due to the model limitations. The attachment of several structures to the outer surface of the wall is recommended as a new strategy to protect the lower vessel head wall from being

over-heated immediately after the relocation of molten materials and reaching at its melting point. The additional new parameters to be measured are recommended such as steam generation rate, atmosphere temperature in the cavity, the outer surface temperature of the test vessel and at least two measured points in the debris. According to the sensitivity study, the size of particles, heat transfer coefficient between debris and wall, and the relocation time constant of solid debris are identified as the main parameters that can have much effect on the coolability of debris in the lower vessel head.

I.

debris
 debris
 TMI-2 20 ton , 1373 K
 30
 가
 debris
 debris
 가
 가
 debris
 debris
 [1]. debris 가
 SONATA-IV [2] Lava [3]. LAVA-3
 thermite Al_2O_3 1
 가 tool
 가 tool
 가 MELCOR

II

MELCOR , COR LAVA-3 가
 가

가 debris

가

LAVA-3

debris

II.1

MELCOR

가

LAVA-3

[4].

debris

source volume (가)

), downcommer volume ()

volume,

volume ()

volume(),

volume()

, 2

가

320K

14 Watt

가

가 433K

16.5

. Thermite

가

가

(Al₂O₃)

fission

가

,

(Al₂O₃;

30Kg)

ring

4

Al₂O₃

,

thermite

(Fe ,Al₂O₃)

Al₂O₃

2300 K

()

가

downcommer

(=0.25m)

(Ring)

4

(slab)

II.2 가

LAVA-3

가 , debris

10

thermite Al₂O₃

(2300K)

debris

2300K

3

debris

()

가 “

”

debris

[5]

가

가

4

1000 W/(m².K)

가
debris

debris

“ ”

1.5 m/s

가

5

가

1.5 m/s

0.2 m/s

가

가

ring

ring

가

“

”

가

가

6

debris

가

1000

, 1, 60, 300sec

debris 가

가

debris

ring

dry-out

가

“ ”

cell

가 debris . LAVA-3 debris

7 debris 가 “ ”

LAVA-3 debris 8 debris 가 , ”

9 debris 가 “ ” 10 dryout 가 “ ”

debris debris 가 , 1330 W/(m².K) [6].

$$h_{con} = \frac{1}{\left(\frac{\Delta Z_1}{K_1} + \frac{\Delta Z_2}{K_2} \right)}$$

1 : Al₂O₃ 2 : Carbon steel K:

ΔZ₁ : debris cell 101

ΔZ₂ : node

debris 가 (1mm), debris 가 (=39 W/(m².K))[7], debris

700 W/(m².K)

가 , debris

MELCOR

가 11 debris debris

cavity

“ ” 12 [8]

(4~10 W/m²K)

II.3 Base

MELCOR LAVA-3 가
 debris , 가 , .
 debris , 13 (-1.237
 °C/sec) (-1.642 °C/sec) 가 1.32 .
 debris 가 ,
 debris 가 1800K 2300K .

14 spike 가 ,
 MELCOR ,
 가 가 ,
 spike
 가 가 가
 15 가 가 가
 가 가 가

MELCOR 가 .
 debris 가 가 ,
 , debris , debris
 16 가 가 가
 debris
 debris ,
 가 .

III

MELCOR1.8.4 COR LAVA-3
 . 가 가 .
 가 debris 1223K 가 .

가 가 , 1330 W/(m² K) ,
1mm , 가 ,
MELCOR 가 가
가
debris 가
debris debris 가
debris
가 debris 가
가 MELCOR
debris debris 가
debris () 가 가
debris
LAVA-3
가 debris 가
debris
debris debris
debris 가 가 debris
가 debris
debris 가 가
debris (),
debris

MELCOR 가 LAVA-3 가
 MELCOR 가
 가 MELCOR 가
 (2),

IV

1. Kune Y.Suh, Robert E.Henry," Debris Interactions in Reactor Vessel Lower Plena During A Severe Accident : I. Predictive Model",Nuclear Engineering and Design, October 1995.
2. H.D.Kim, S.B.Kim,"Overview of severe accident research and SONATA-IV phase-I experiment at KAERI",CSARP, Bethesda MD, May 4-7 1998.
3. ,"
 ", 98'
 ,1998.
4. "MELCOR Computer Code Manuals : Reference Guide",NUREG/CR-6119, Vol.1 & 2, July 1997.
5. Cho-chone et.al. , " A Code Manual for TEXAS-III ", Univ. Wisconsin Madison, 1986 April.
6. M.M.El-Wakil," Nuclear Heat Transport ", pp114-117,International text book company,1971
7. MAAP (STMSIU, STWATF, THCST)
8. ,"
 ", pp 206-207,
 , 1987.

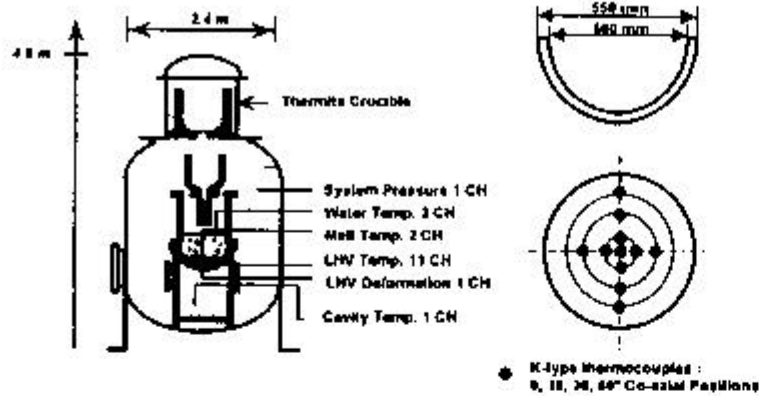


그림 1 Lava-3 실험장치 및 열전대위치

- Source volume (10): N₂ 가스 주입
- downcomer volume: 유로연결
- Heater in L.VH(110): 하부용기내 냉각수 온도제어
- core volume(100): 용융포
- test vessel volume(260): 실험용기
- atmosphere volume(140): 건물공간
- Two valves: 실험용기내 압력 제어

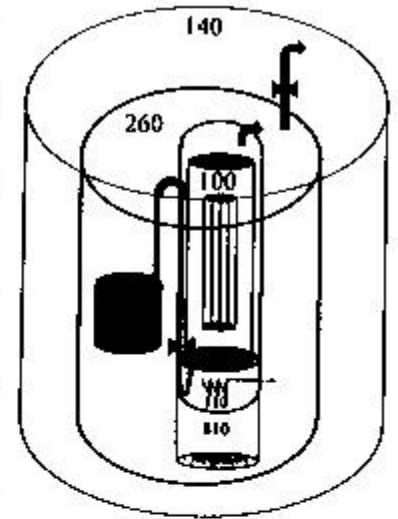


그림 2 Lava-3 실험모의를 위한 Melcor 코드 입력 구성도

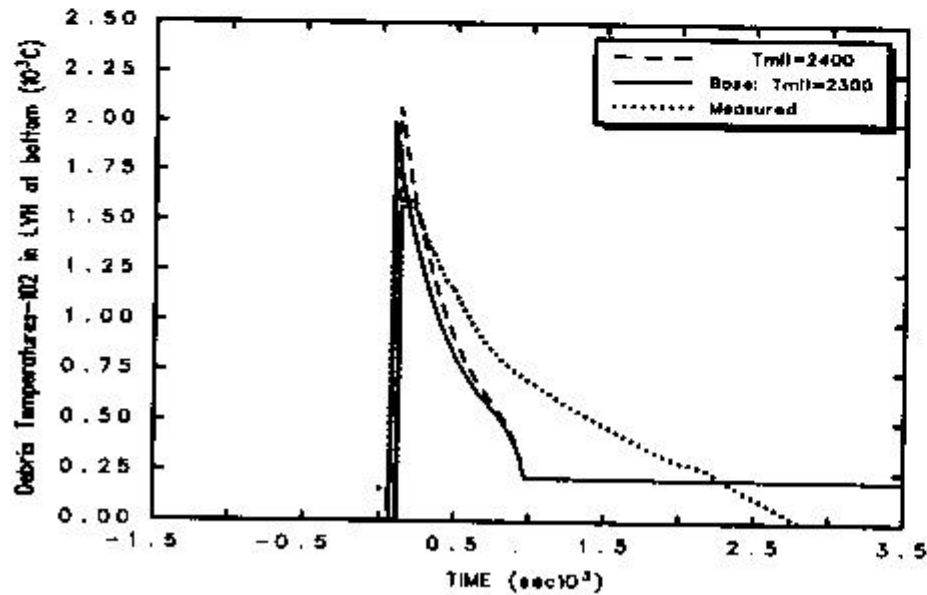


그림 3 초기용융온도값에 따른 debris 온도변화

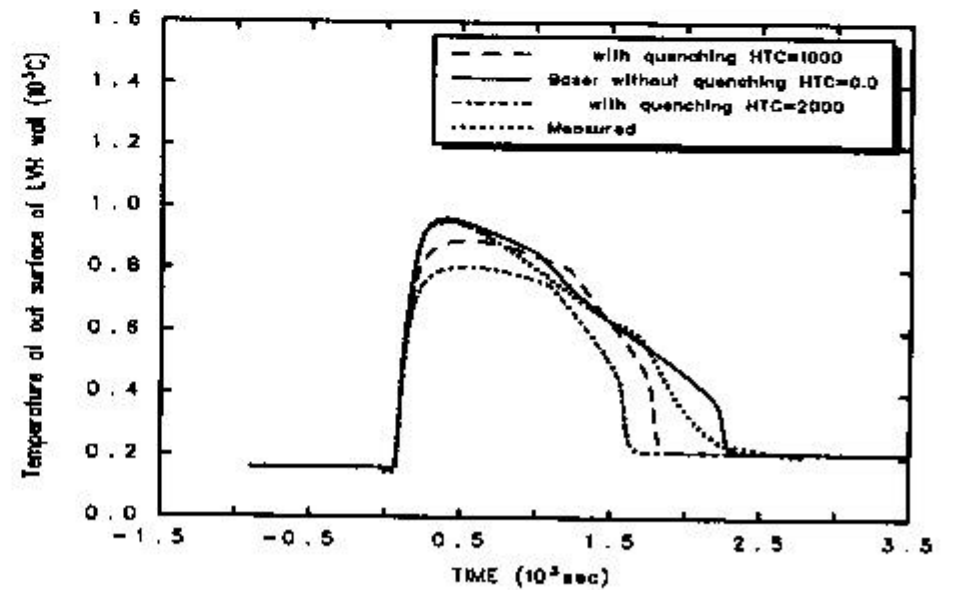


그림 4 급냉여부에 따른 하반구 처저 외벽면 온도변화

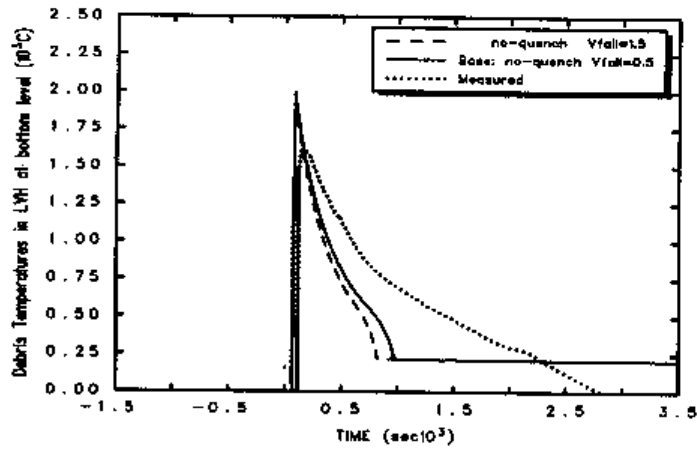


그림 5 낙하속도에 따른 debris 온도변화

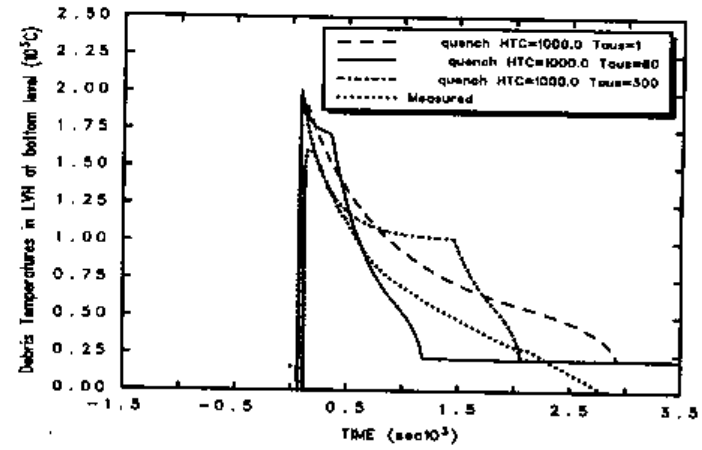


그림 6 교체파쇄입자 제재치 시간상수값에 따른 debris 온도변화

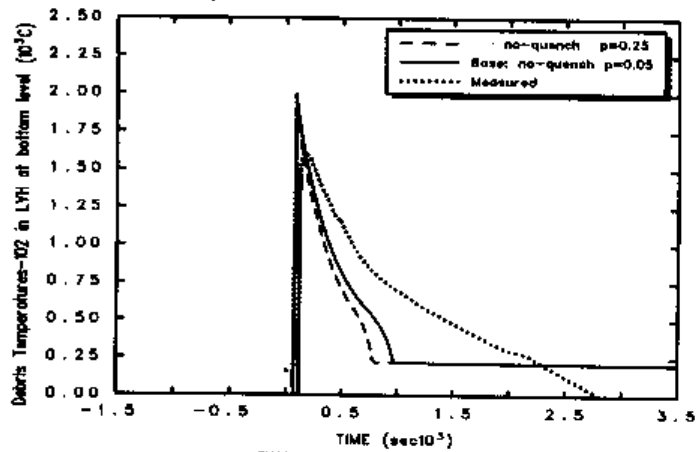


그림 7 Cell 지정 다공성값에 따른 debris 온도변화

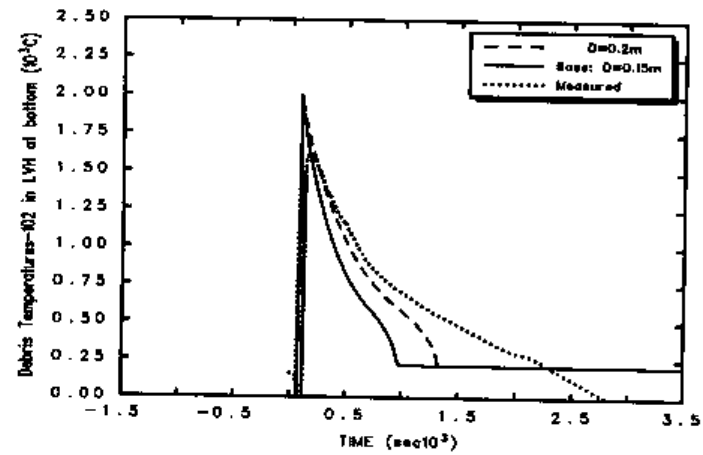


그림 8 파쇄입자 직경크기에 따른 debris 온도변화

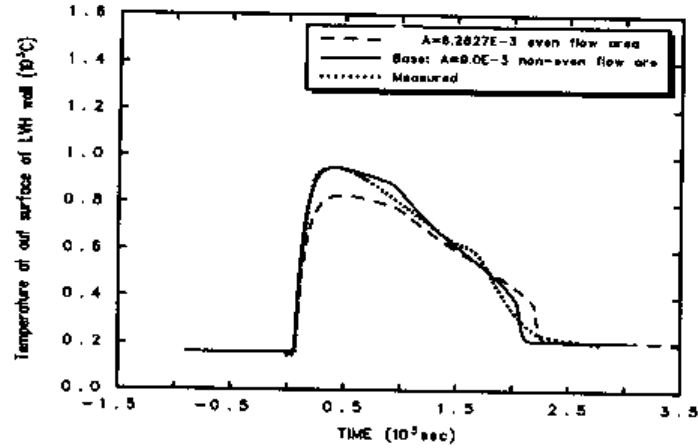


그림 9 유로면적크기에 따른 하반구 최저 외벽면 온도변화

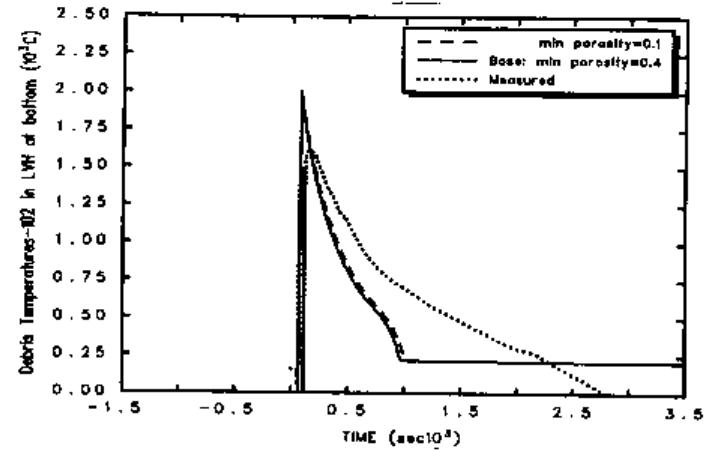


그림 10 파쇄층의 사용저지경 최소 다공성값에 따른 하반구 최저 외벽면 온도변화

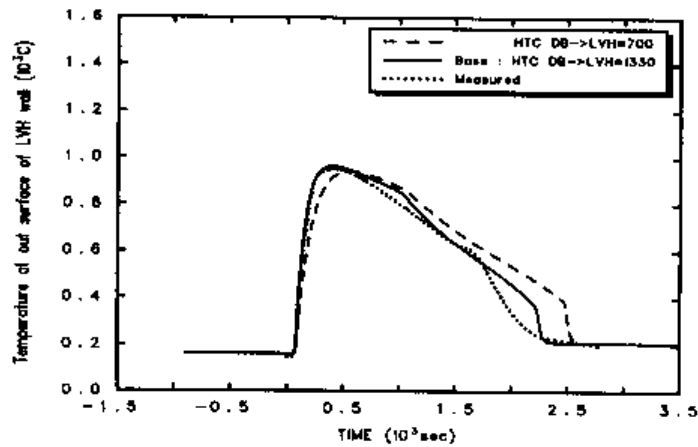


그림 11 Debris 에서 하반구벽으로의 열전달계수값에 따른 하반구 최저 외벽면 온도변화

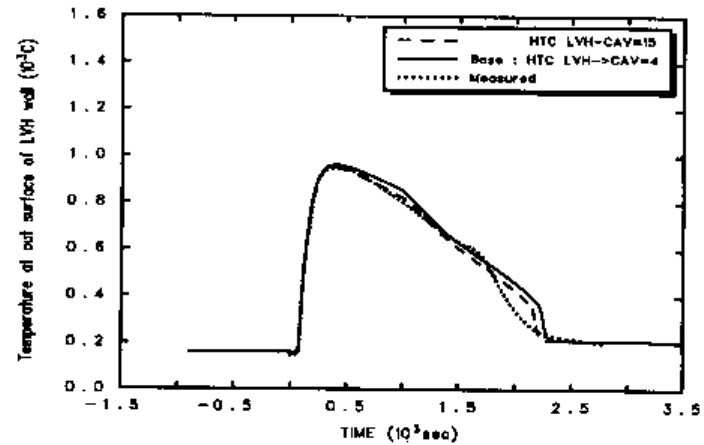


그림 12 하반구외벽에서 cavity 대기로의 열전달계수값에 따른 하반구 최저 외벽면 온도변화

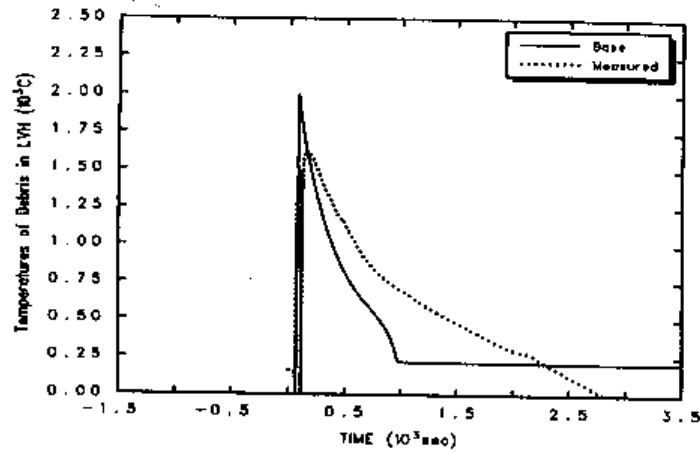


그림 13 Base 계산경우 Cell-102 에서의 debris 온도

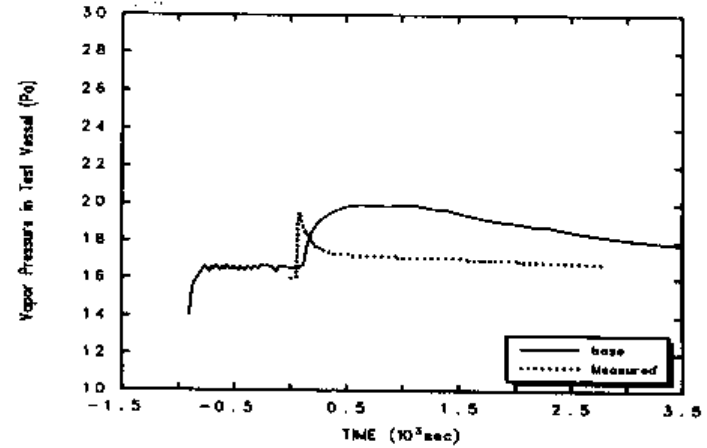


그림 14 Base 계산경우 실험용기내 압력변화

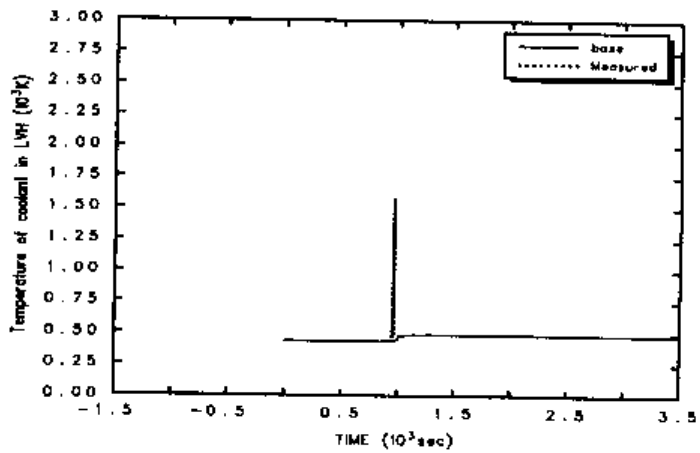


그림 15 Base 계산경우 하부반구내 냉각수 온도변화

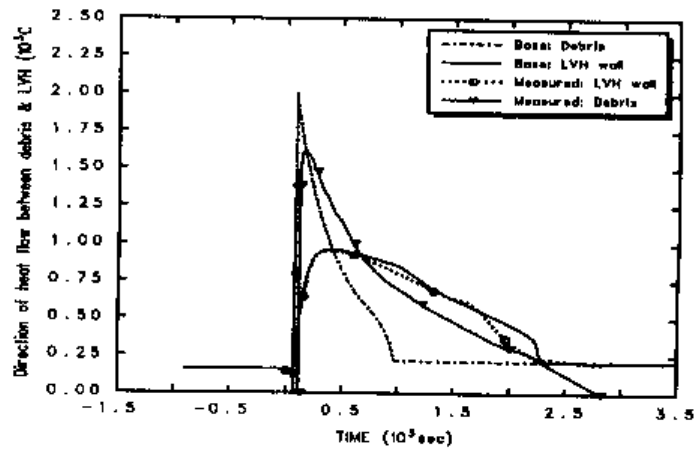


그림 16 Base 계산경우 하부반구내 각 부품별 열흐름 방향